

Sources d'ions et accélérateurs

le programme de développement au SSI

Résumé

Une fois démarrés, les accélérateurs d'ions, que ce soit des cyclotrons, des synchrotrons ou même de simple plate-forme haute tension, peuvent voir leurs performances décuplées uniquement par l'introduction de nouvelles sources d'ions. C'est ceci qui est à l'origine du dynamisme et de l'intérêt pour le développement de nouvelles machines.

Le Service des Sources d'Ions étant principalement engagé dans la mise au point de sources d'ions lourd (masse supérieure à celle de hydrogène), nous rappellerons les principaux procédés de production des ions et tout particulièrement les principes de base des sources de types ECR (pour Electron Cyclotron Resonance).

Nous nous efforcerons de montrer en quoi la mise au point des systèmes d'augmentation en charge des faisceaux (Charge breeding) initialement développé pour le projet PIAFE permettent l'amélioration de presque tous les projets d'accélération en ligne des faisceaux secondaires. Nous mettrons aussi en lien les différents schéma d'injection des ions lourds au CERN avec les différentes approches concernant la production de faisceaux pulsés d'ions Pb.

Sources d'ions et accélérateurs

le programme de développement au SSI

1. **Introduction** : *Sources d'ions et accélérateurs*
2. **Les sources ECR** : *les principes*
3. **Sources ECR et faisceaux secondaires** : *production en ligne et charge breeding*
4. **Sources ECR et synchrotrons** : *optimisation faisceaux pulsés / continus*
5. **Prospectives** : *PHOENIX “Booster 18 GHz”*
A-PHOENIX HTS 28 – 40 GHz

Sources d'ions et accélérateurs

Ion : « non - neutral atom »

positive ions

negative ions

light ions

heavy ions

multicharged ions

Source : flux of ions

continuous

pulsed

low current

high current

high brightness

low brightness

efficiency

ION BEAMS

An **energy**, generally per mass unit

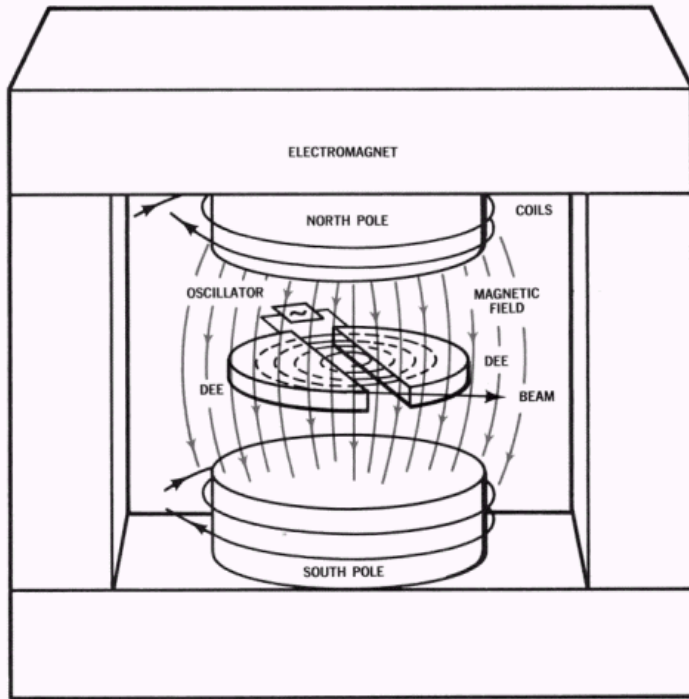
An **intensity**, generally particles/second

A **transversal emittance**, generally the intrinsic transversal energy spread and the size of the beam

A **longitudinal emittance**, generally the intrinsic longitudinal energy spread and the time structure

Sources d'ions et accélérateurs

Sources d'ions et cyclotrons



The cyclotron is characterised by the parameter K defined by

$$W_n^{\max} = K \left(\frac{q}{A} \right)^2$$

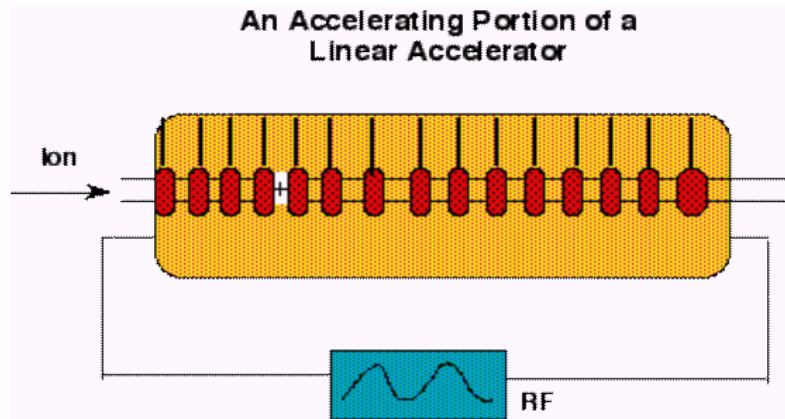
where W_n^{\max} is the maximum energy per nucleon achievable, q the number of charge of the ion and A the number of mass of the ions.

The expression of K is : $K = \frac{R^2 B_{\max}^2}{2m_n}$ where B_{\max} is the maximal induction, R the mean radius of the extraction trajectory et m_n the mass of the nucleon

Ex. : "88 inch" Berkeley cyclotron, 40 years old, accelerate Bi^{46+} up to 6 Mev/uma.

Sources d'ions et accélérateurs

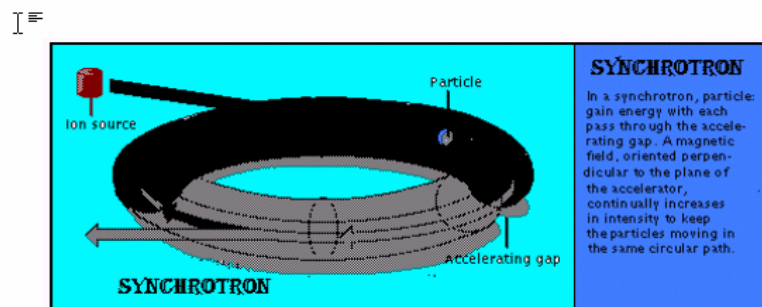
Sources d'ions et accélérateurs linéaires



For a linear accelerator, the energy is $W_n^{\max} \propto (q/A)$ where W_n^{\max} is the maximum energy per nucleon achievable, so the number of accelerator gap, so the length of the machine , so the price!

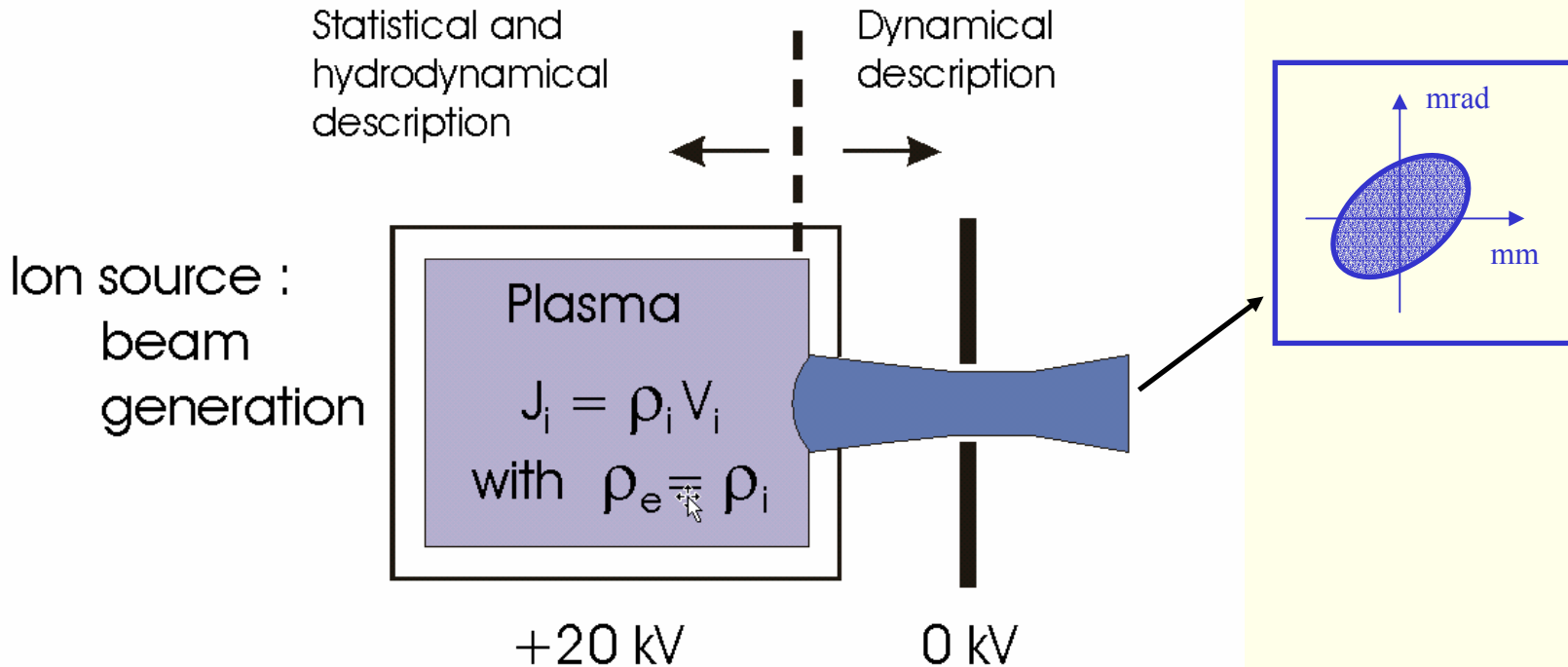
Synchrotron are fundamentally cyclic accelerator , a bunch of particule is injected, followed by the accelerating time.

So the ion source must deliver a pulsed beam with a maximum intensity during some μs every second !



Sources d'ions et accélérateurs : plasma and ion beam generation

A plasma is called quasineutral if the number of positive charges per unit volume equals the negative charge density



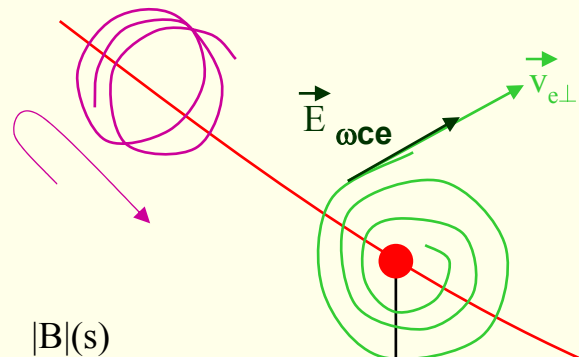
The ion current is determined only by ion temperature, ion density and area of extraction opening

Résonance cyclotronique électronique: ω_{ce}

Les mouvements de l'électron :

mouvement cyclotron simple
mouvement cyclotron dans le gradient (miroir magnétique)
résonance cyclotron simple (passage unique)
résonance cyclotron multiple (stochastique)
collision e-e (diffusion élastique)
collision i-e (équilibre thermique et collisions ionisantes)
équilibre macroscopique du plasma ($n_e n_i T_e T_i$)
propagation de l'onde UHF (14 GHz) (fréquence de coupure)
champ électrique utile au niveau de la résonance

Effet miroir ($v_{||} = 0, v_{\perp} \text{max}$)

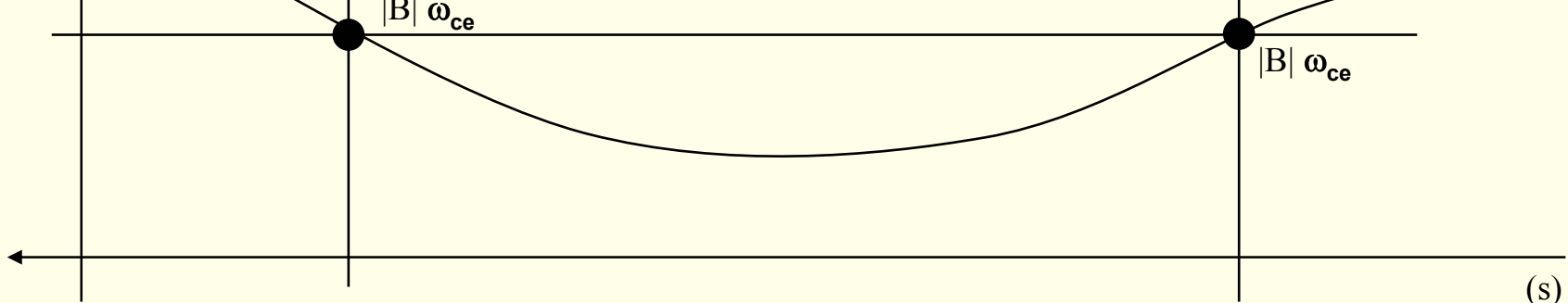


$|B|(s)$

Resonance cyclotron
($v_{e\perp}$ augmente)

Mouvement cyclotron

Ligne de champ
(miroir magnétique + multipole)



Multicharged ion production : Ionization equilibrium

Balance equation of the density n_i of ions in the charge state i :

$$\frac{\partial n_i}{\partial t} = \sum_{j_{\min}}^{i-1} n_e n_j \langle \sigma_{j \rightarrow i}^{ioni} v_e \rangle + n_o n_{i+1} \langle \sigma_{i+1 \rightarrow i}^{exc} v_i \rangle - n_o n_i \langle \sigma_{i \rightarrow i+1}^{exc} v_i \rangle - \sum_{j=i+1}^{j_{\max}} n_e n_j \langle \sigma_{j \rightarrow i}^{ioni} v_e \rangle - \frac{n_i}{\tau_i}$$

Parametric model with n_e , $f(v_e)$, τ_i and n_0 arbitrary

n_e : electronic density

$f(v_e)$: electronic speed distribution

τ_i : ionic diffusion time

n_0 : neutral density

with $\tau_i = K_{diff} z_i^2$ (or more sophisticated description of ionic plasma diffussion process)

ionisation cross section:

$$\sigma_i^{ioni} = A_i^{ioni} \log(E_e / E_i^{ioni}) / E_i^{ioni} E_e$$

charge exchange cross section:

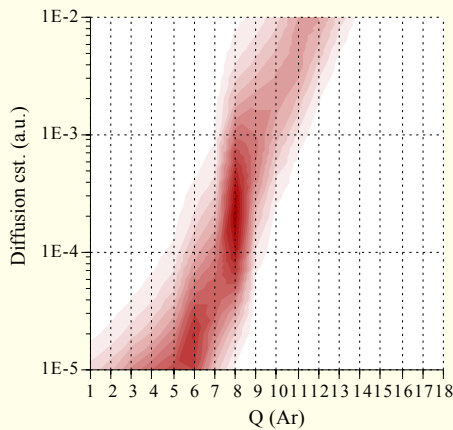
$$\sigma_{i,i-1}^{exc} = A^{exc} i / (E_0^{ioni})^3$$

with : A_i^{ioni} : ionisation constant

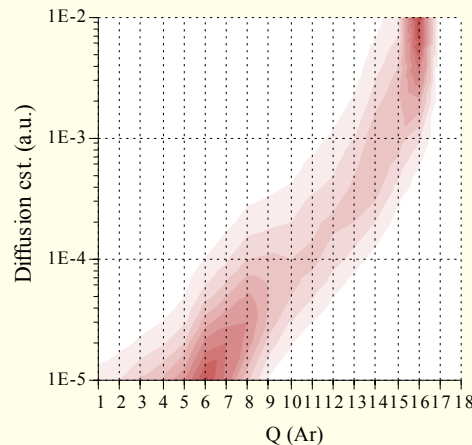
E_i^{ioni} : ionisation potential of state i

E_e : electronic energy

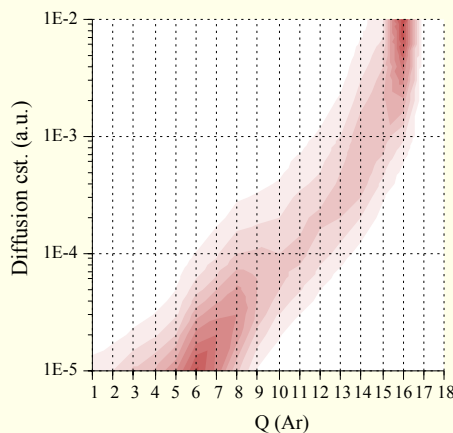
Multicharged ion production : *ionization equilibrium*



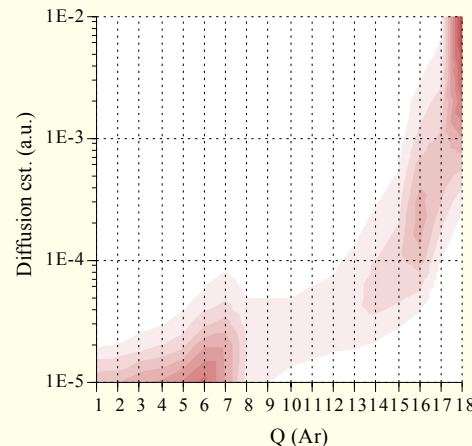
$\text{Te} = 100 \text{ eV (maxwellian)}$



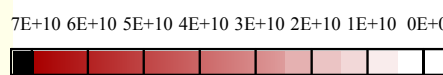
$\text{Te} = 300 \text{ eV (maxwellian)}$



$\text{Te} = 1000 \text{ eV (maxwellian)}$



$\text{Te} = 10000 \text{ eV (maxwellian)}$



**Density (cm^{-3}) charge state distribution
of Argon as a function of
the confinement time of ions
and for maxwellian distribution
of electronic energy**

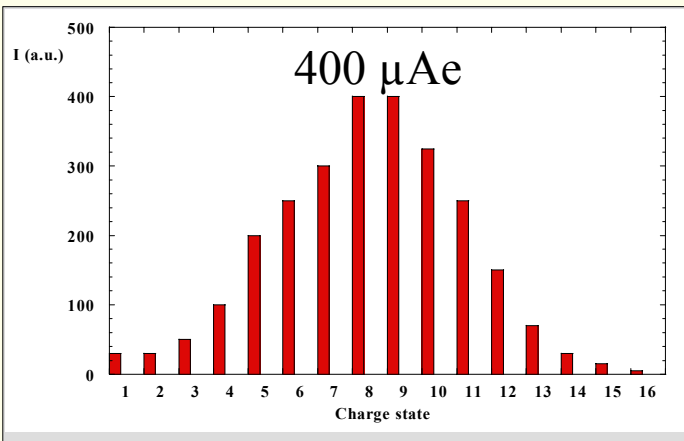
Ionisation Potential

$\text{Ar}^0 \approx 15 \text{ eV}$ $\text{Ar}^{7+} \approx 140 \text{ eV}$
 $\text{Ar}^{8+} \approx 450 \text{ eV}$ $\text{Ar}^{15+} \approx 1000$
eV
 $\text{Ar}^{16+} \approx 4400 \text{ eV}$

High current / high charge state optimization

$$J_i \propto n_e / \tau_i$$

$$\langle Z \rangle \propto n_e \tau_i$$

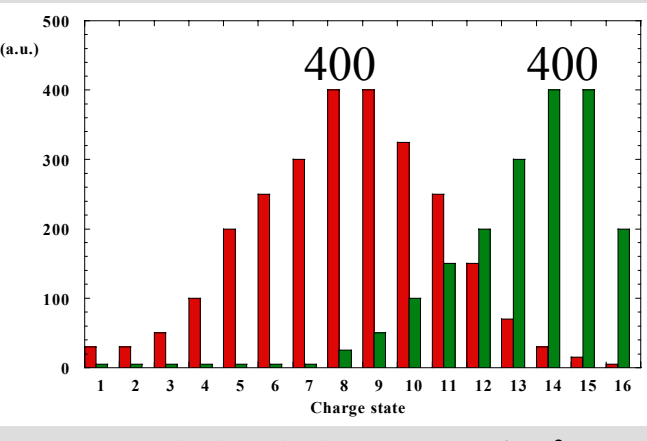


ECR4 14.5 GHz / CERN
1-5 mAe/cm²

$$n_e \tau_i$$

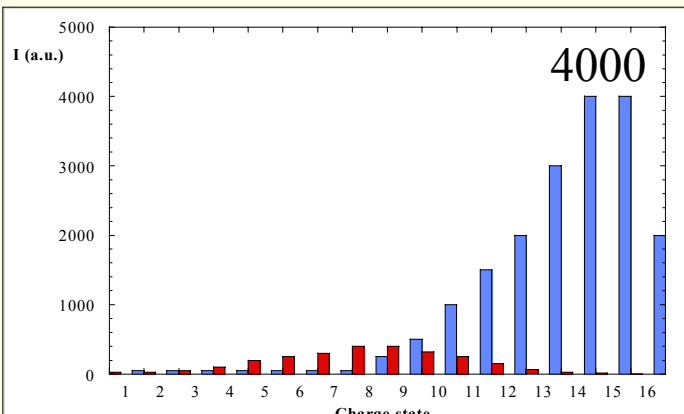
$$n_e / \tau_i$$

?



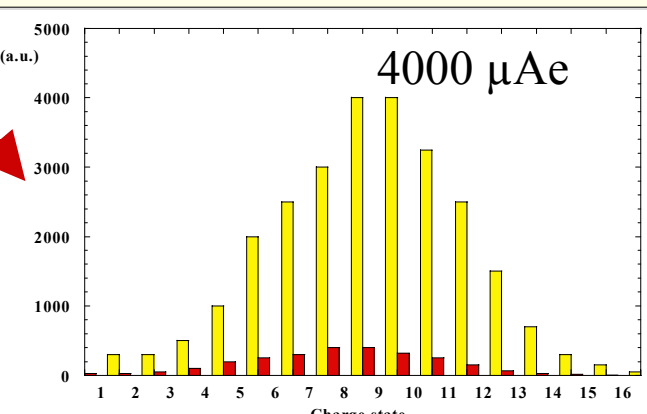
$n_e (\times 3) \tau_i (\times 3) : 1-5 \text{ mAe/cm}^2$
 $n_e \tau_i (\times 10)$

$$n_e / \tau_i = C^{\text{st}}$$



$n_e (\times 10) \tau_i C^{\text{st}} : 10-50 \text{ mAe/cm}^2$
 $n_e \tau_i (\times 10)$

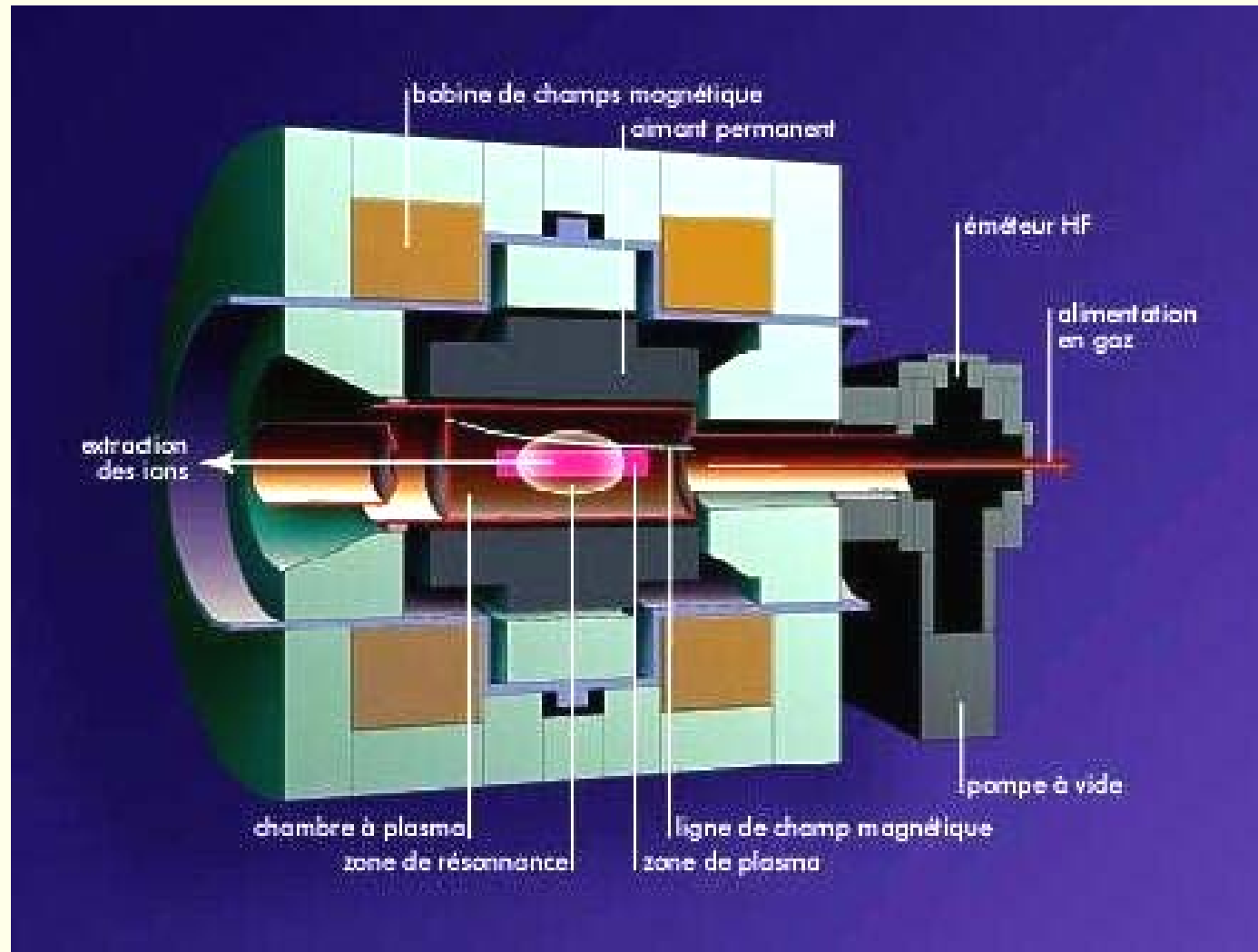
J_i
 P_{UHF}



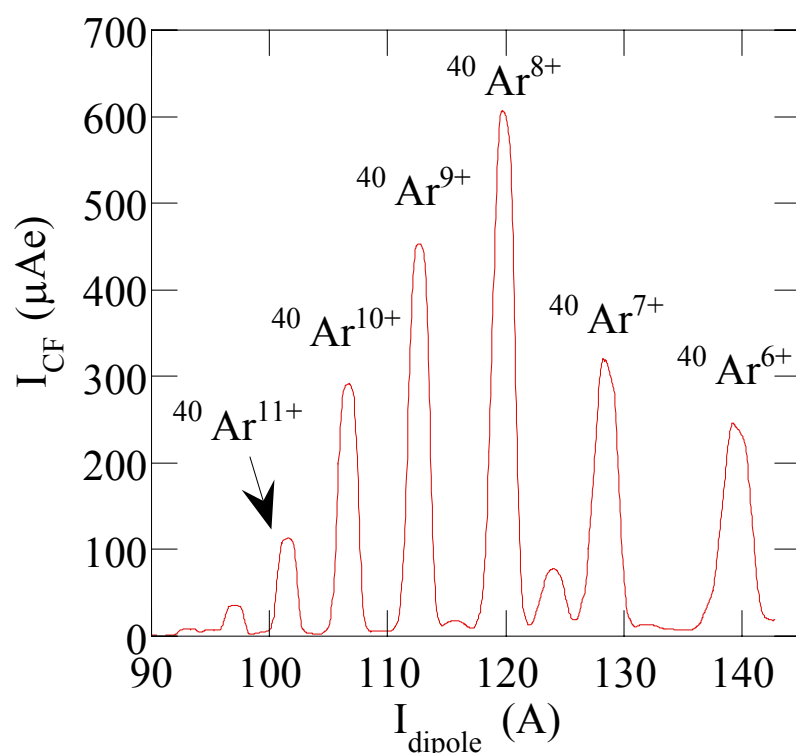
$n_e (\times 3) \tau_i (\div 3) 10-50 \text{ mAe/cm}^2$
 $n_e \tau_i = C^{\text{st}}$

$$n_e / \tau_i (\times 10)$$

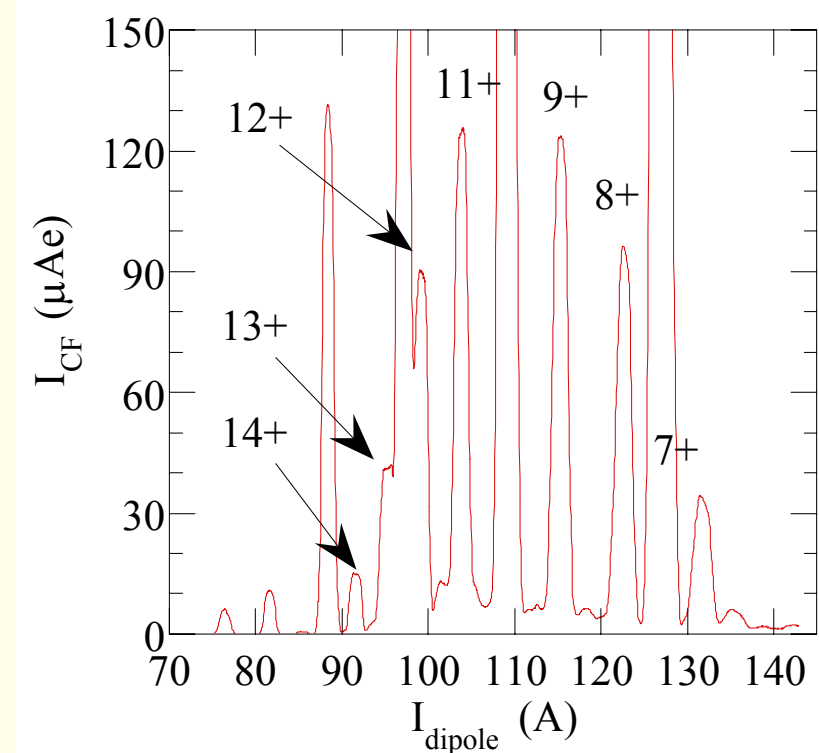
Electron Cyclotron Resonance Ion Source



Electron Cyclotron Resonance Ion Source : typical spectrum



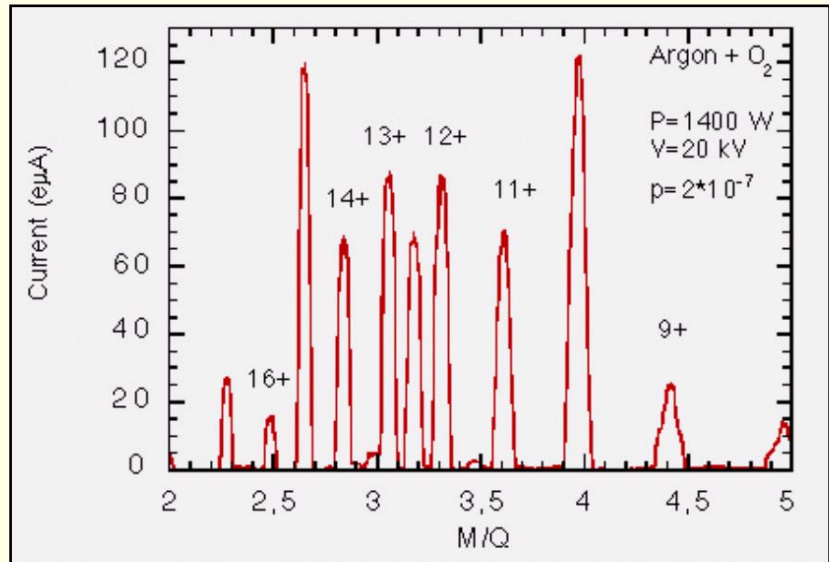
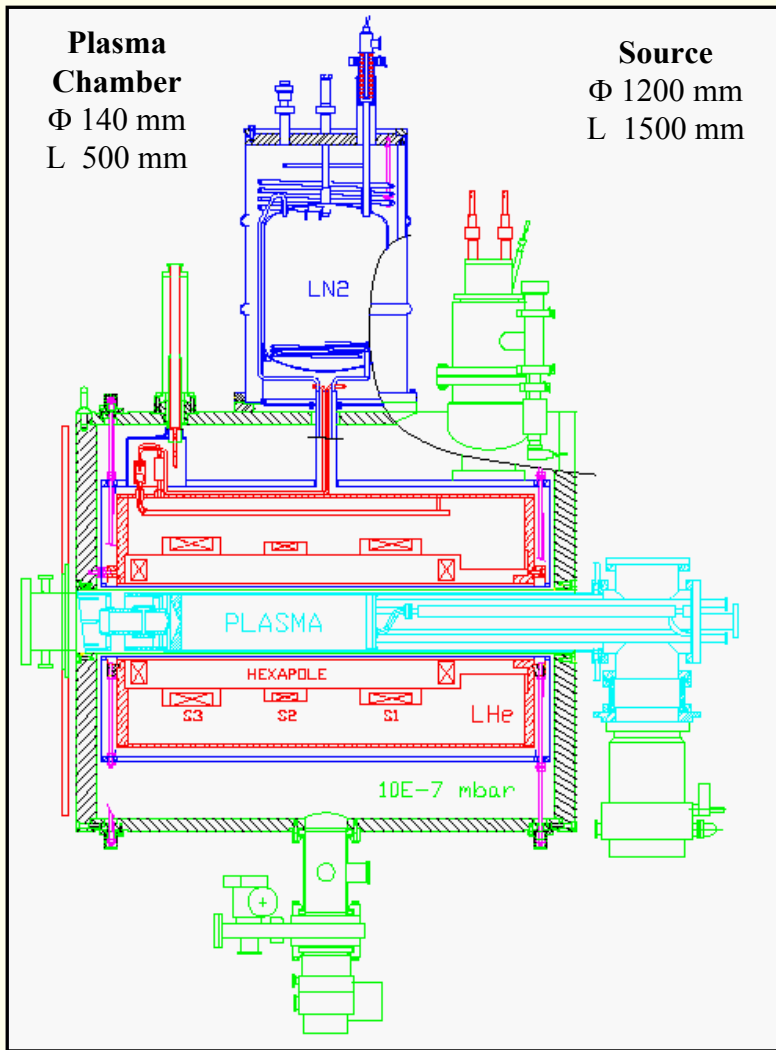
Ar $^{8+}$ tuning



Ar $^{14+}$ tuning

ECR4-M 14.5 GHz / GANIL / 25 KV

Electron Cyclotron Resonance Ion Source : Source supraconductrice CENG/LNS Catane



Pour :

> sources compactes sur très fortes charges $Ar > 14^+$

Contre :

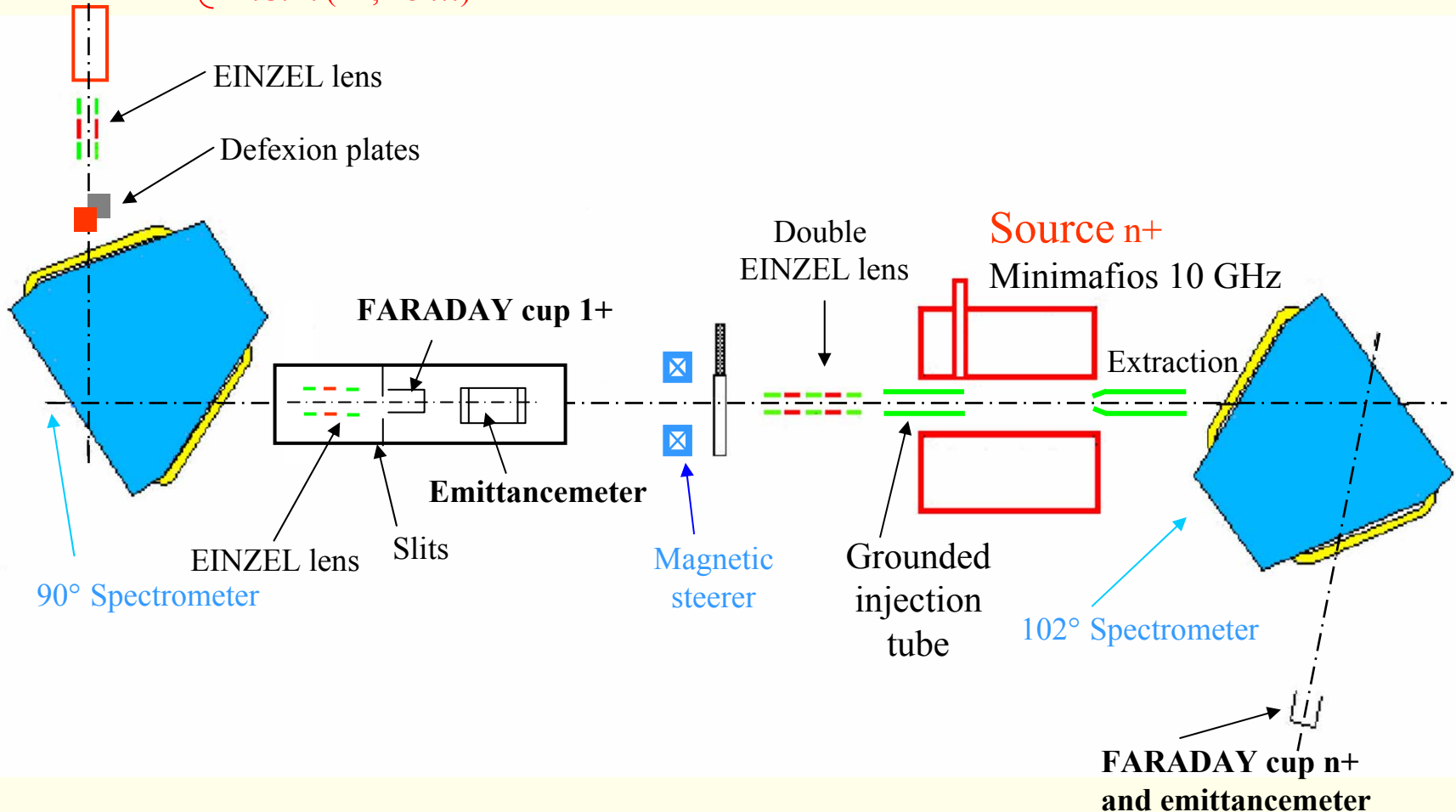
< sources compactes sur charges moyennes ou faibles $Ar < 14^+$

Compromis fort courant ?

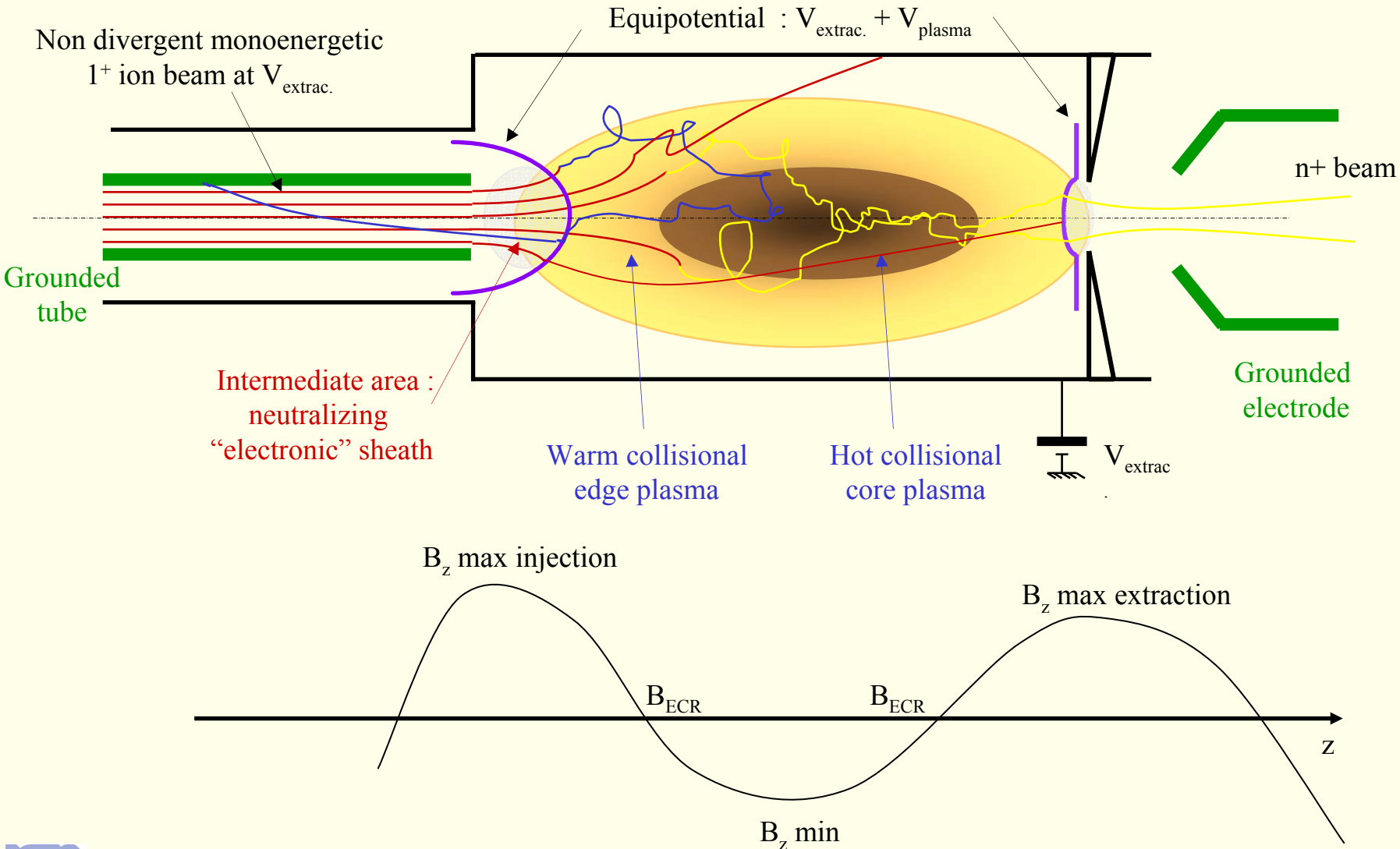
Coût environ 10 fois supérieure

Experimental setup for the $1^+/n^+$ charge breeding

- 1^+ Source**
- Thermoionic (Rb)
 - Hollow Cathode (Zn)
 - E.C.R. (Zn, Pb ...)



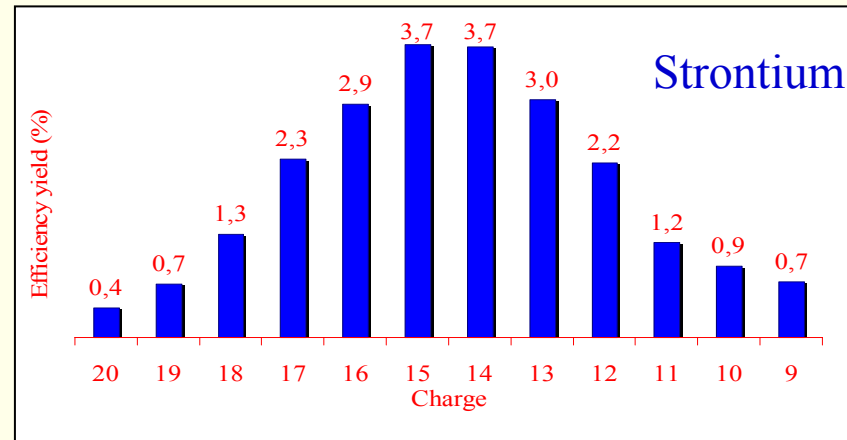
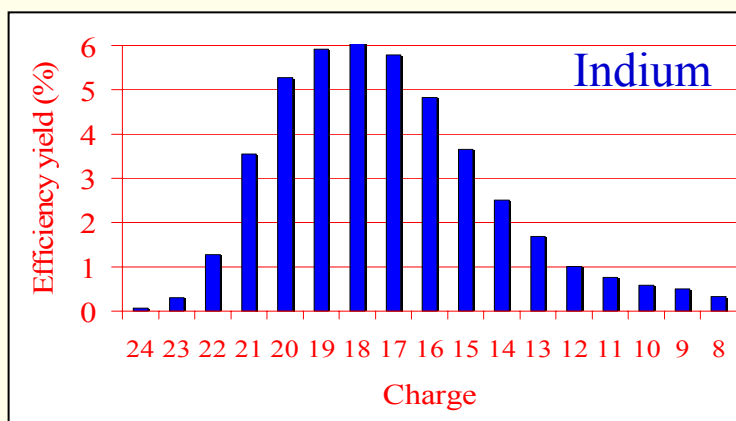
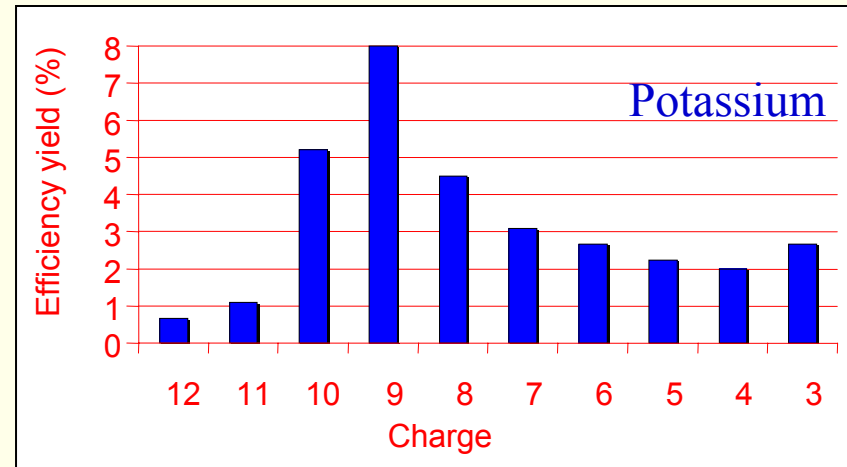
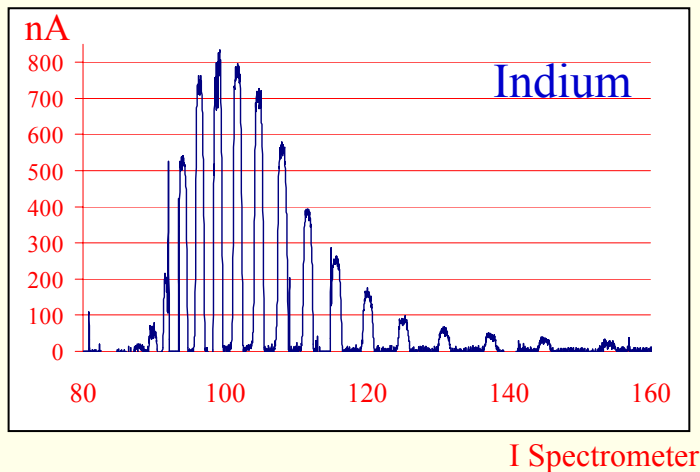
1+ / n+ transformation with an ECRIS for multicharged ions



Experimental setup for the $1+/n+$ charge breeding

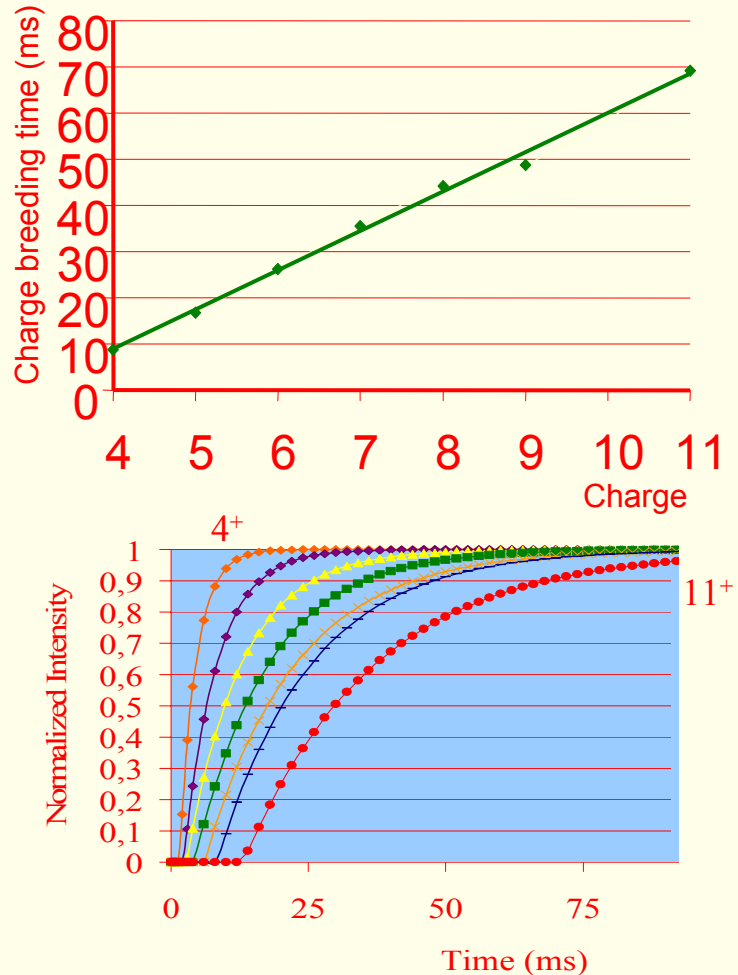
Efficiency yields

Delta I measurement



Experimental result with the 1+/n+ charge breeding

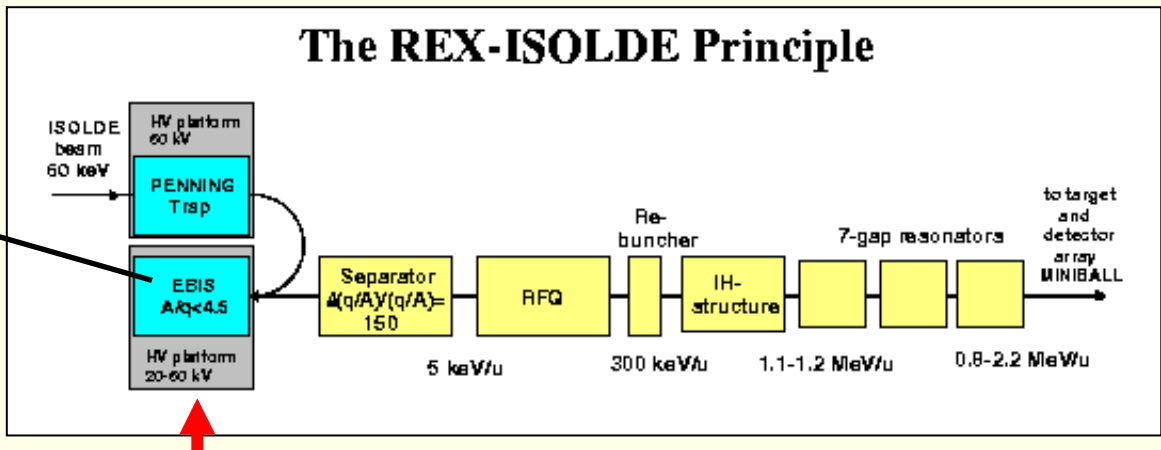
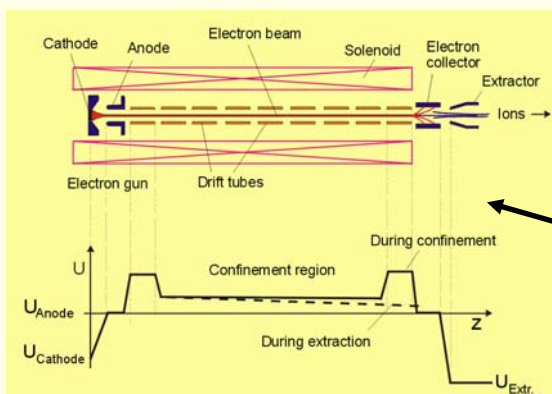
Charge breeding time τ_{cbt} with ^{39}K



Produced elements

Element	1+ Intensity (nA)	n+ Charg	Yield (%)
^{20}Ne	1000	4	7.5
^{23}Na	660	6	1.3
^{39}K	280	6	6.5
^{64}Zn	42	10	2.8
^{69}Ga	460	11	2
^{85}Rb	90	13	5
^{88}Sr	470	14	3.7
^{90}Y	178	14	3.3
^{109}Ag	175	17	3
^{115}In	130	18	3.3
^{120}Sn	167	19	4.1
^{208}Pb	700 (2+)	25	6.8

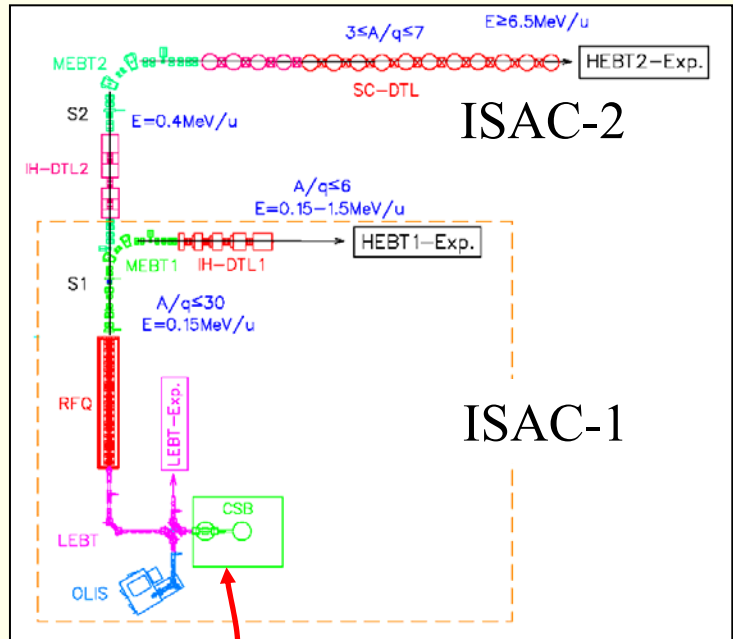
The EBIS charge breeder/stripper versus the ECRIS one



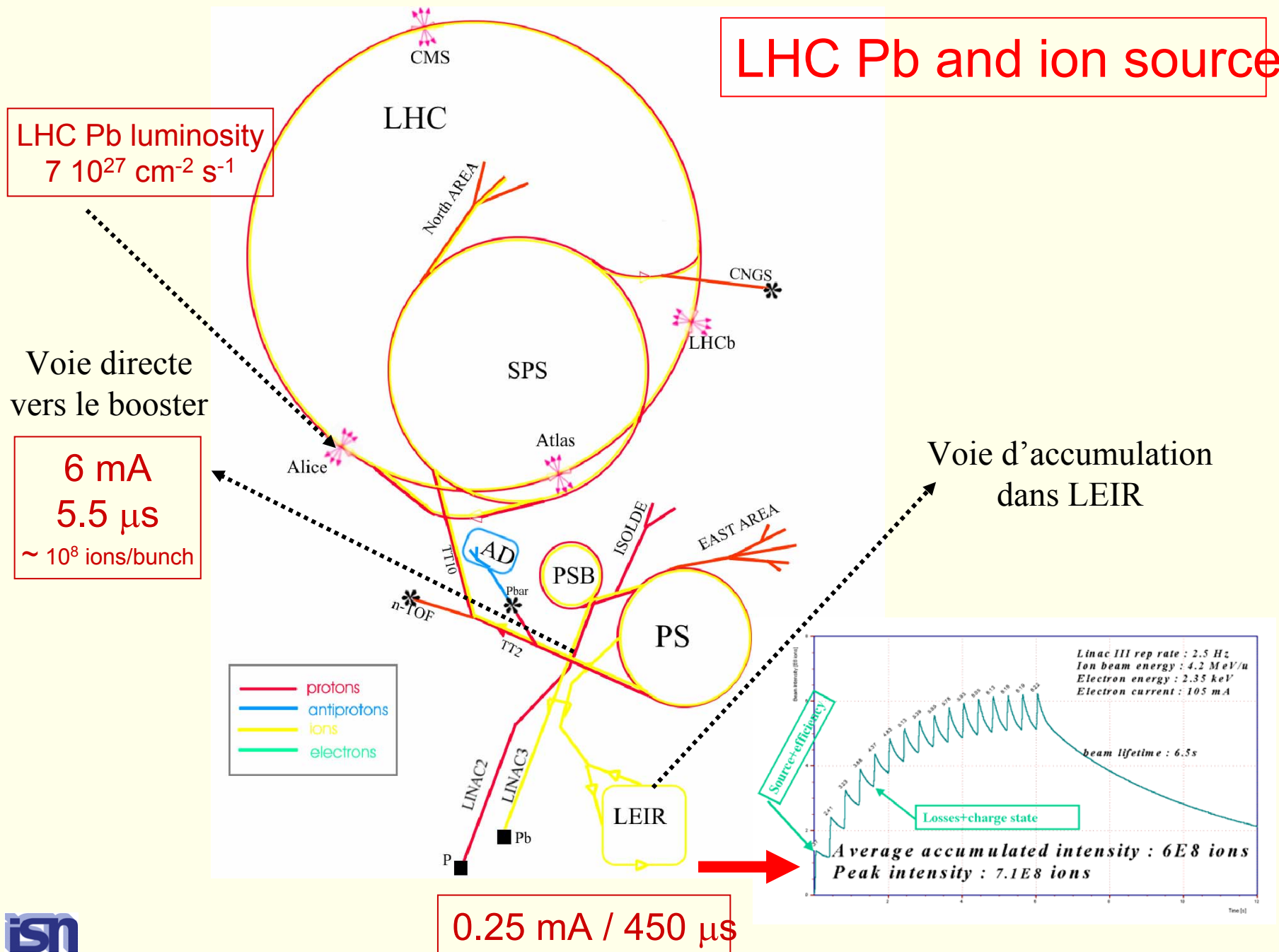
Phoenix 14 GHz
« Daresbury »

Fabriquées par Pantechnik
sous contrat ISN/Pantechnik (CROP)

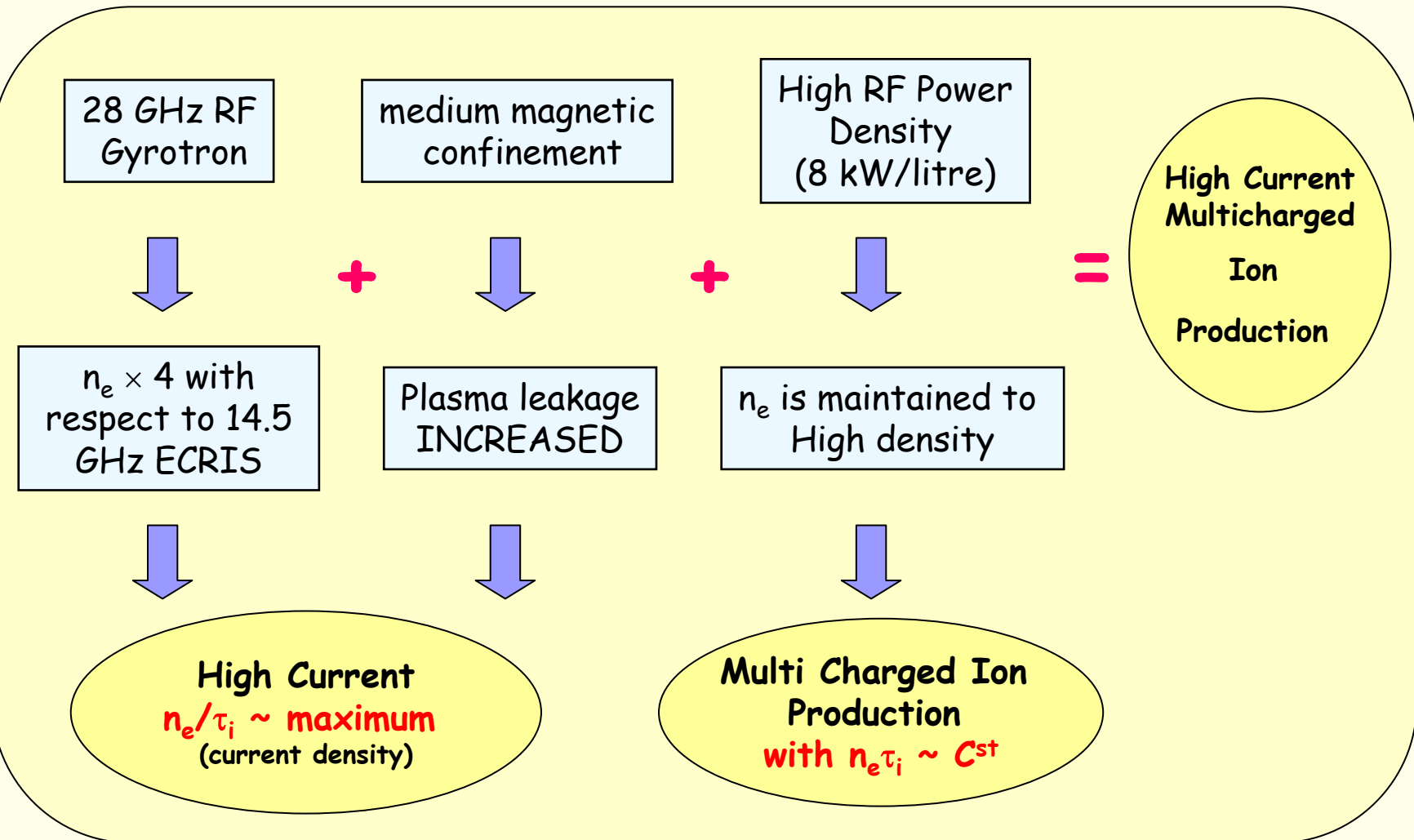
Phoenix 14 GHz
Triumf



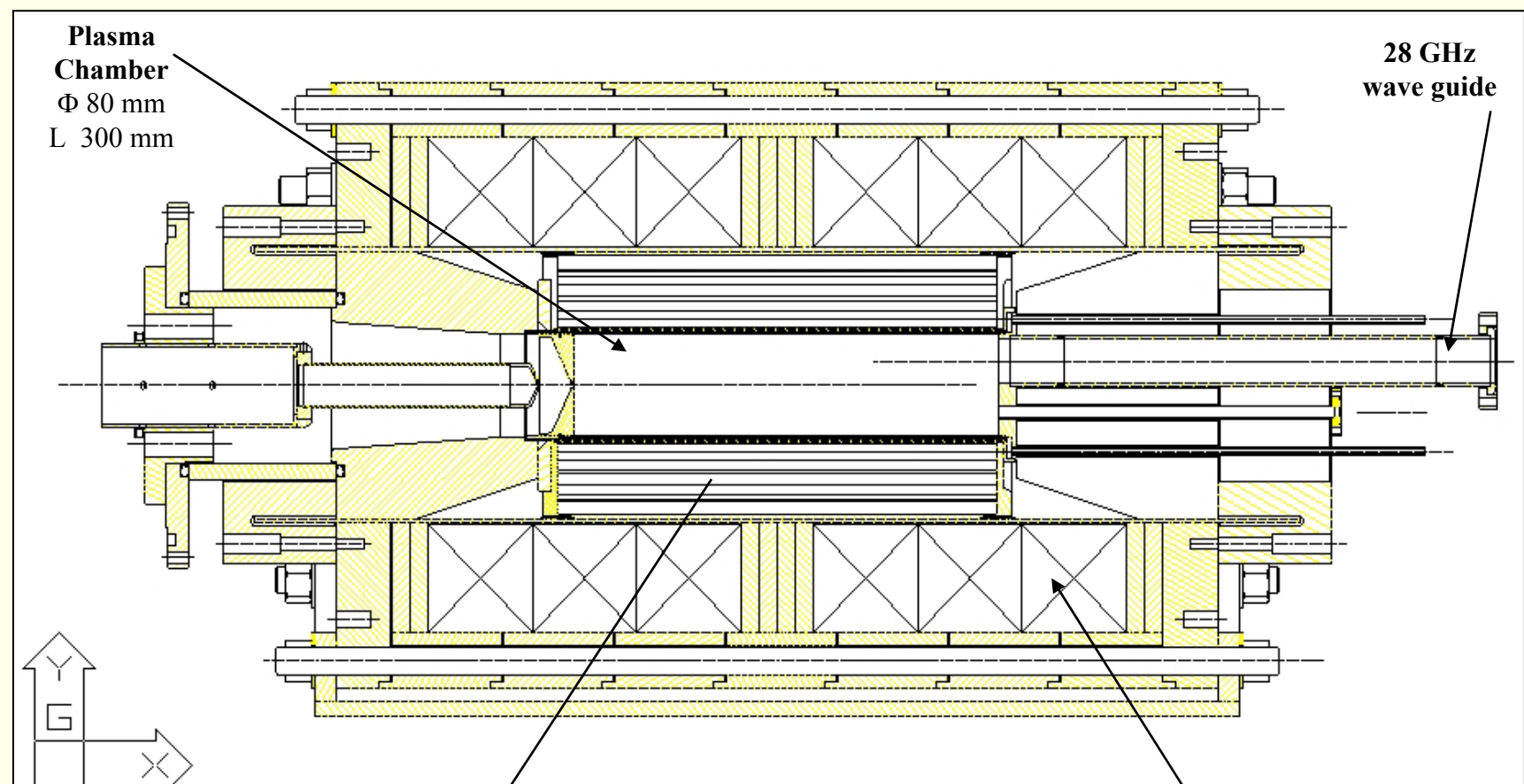
LHC Pb and ion source



PHOENIX strategy to produce High Multi Charged Ion beams



PHOENIX 28 GHz

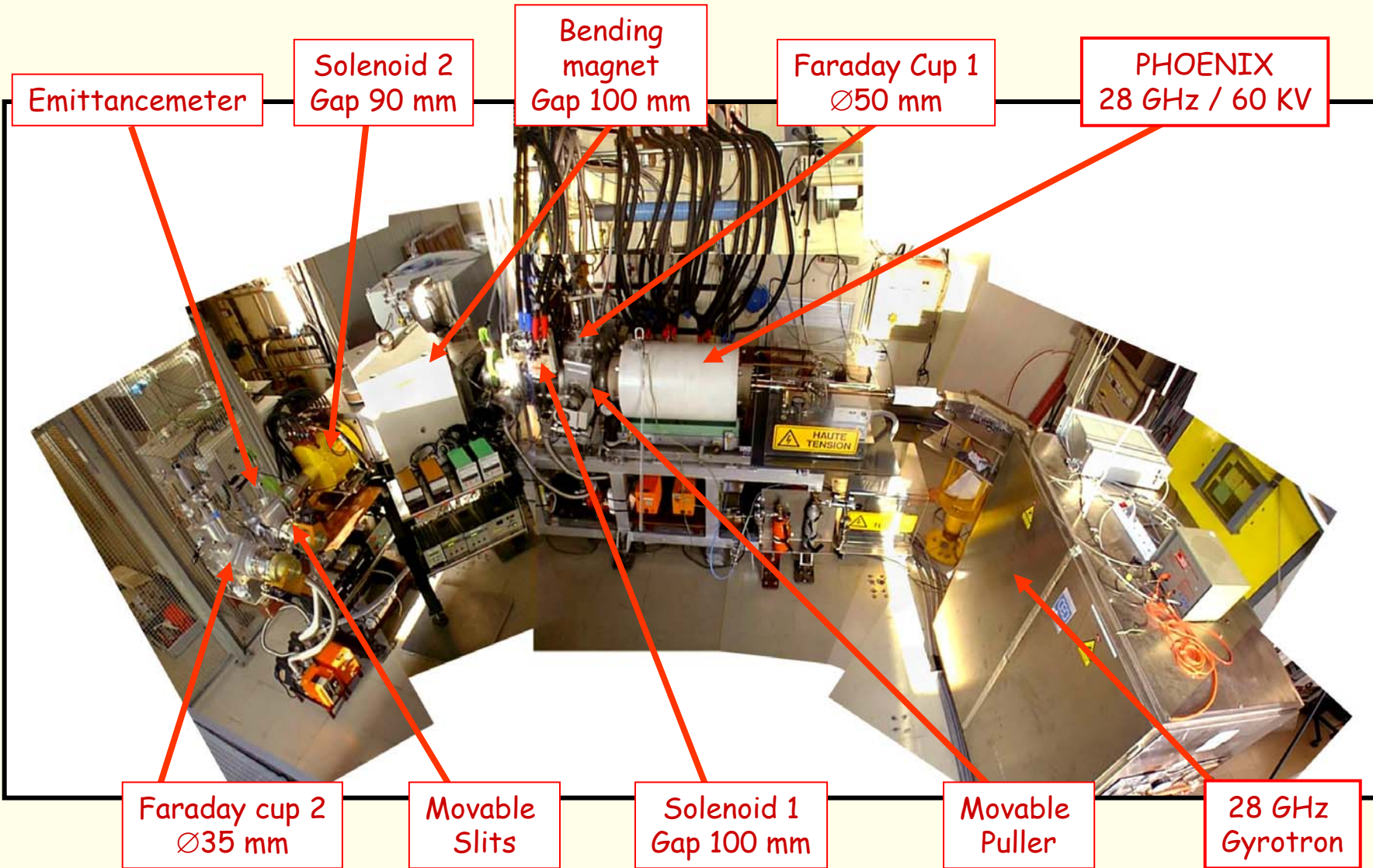


Hexapole
FeNdB

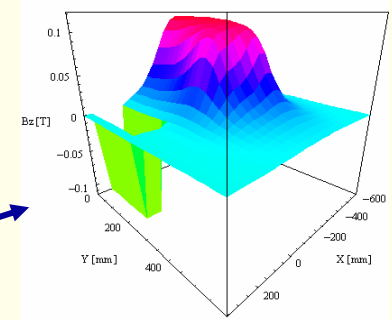
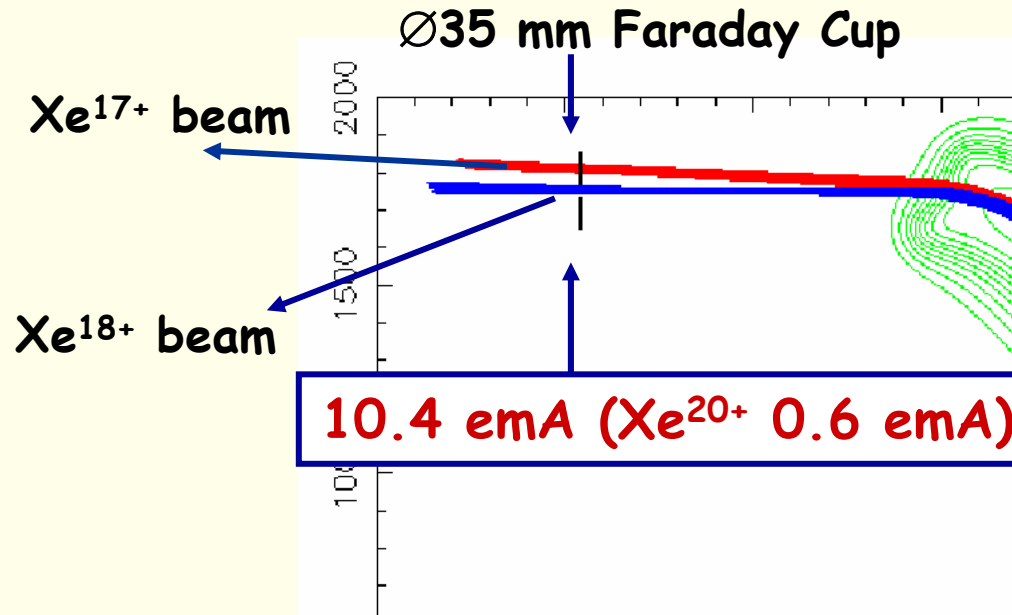
Source
 $\Phi 500 \text{ mm}$
 $L \sim 800 \text{ mm}$

Coils
 $3 \times [2 \text{ Coils} \times [55 \text{ V} \times 1300 \text{ A}]] = 214 \text{ KW}$

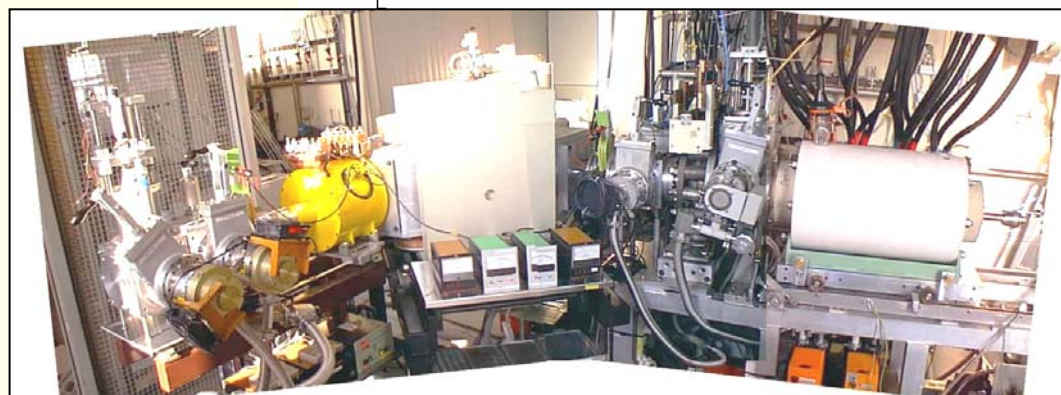
PHOENIX 28 GHz : 60 KV high current beam line



PHOENIX 28 GHz : high current extraction (Xenon)



3D field map of the
90° Bending magnet



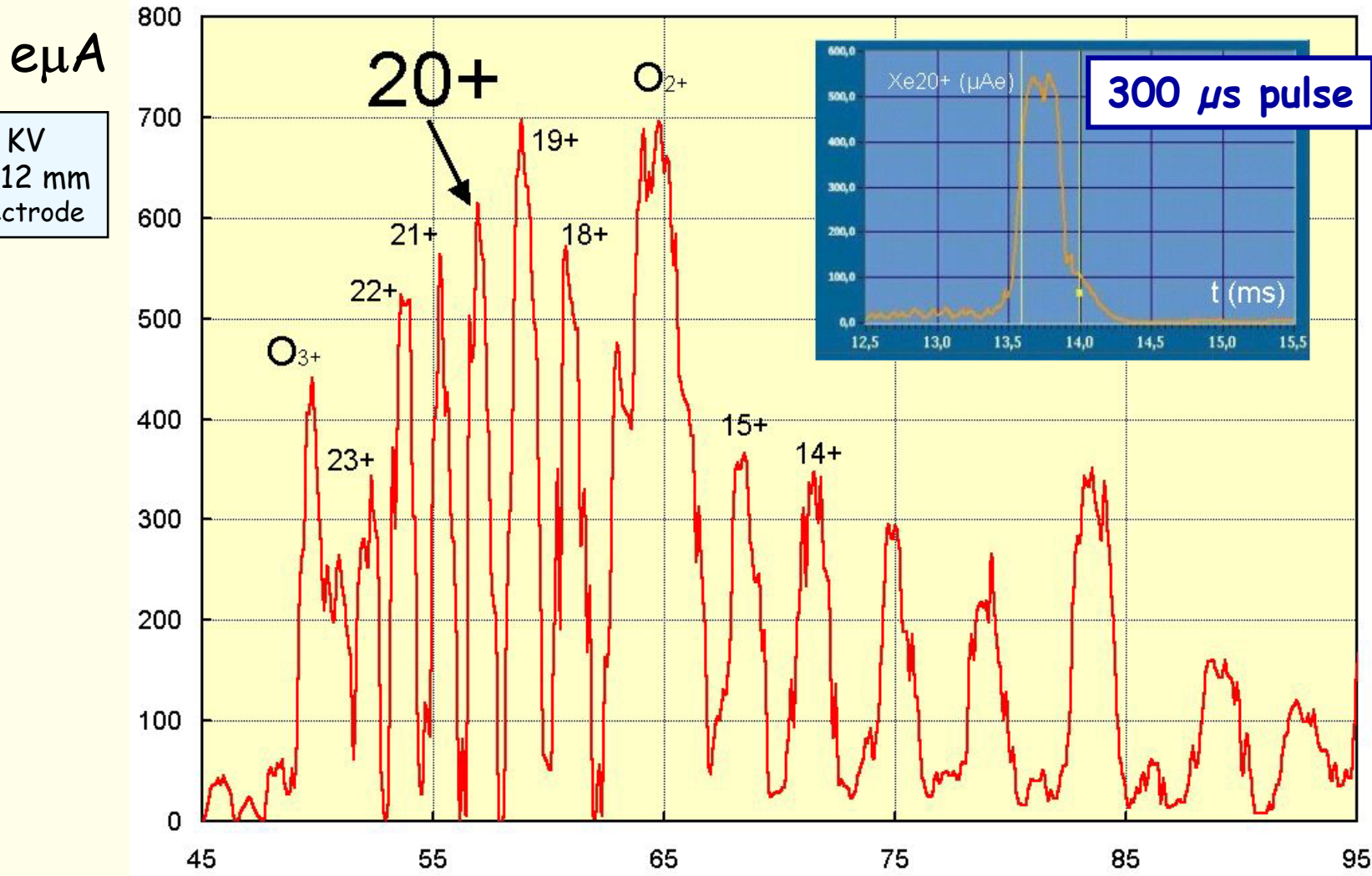
3D field map of the
solenoid

12.5 emA (I_{FC1})

3D source extraction field
and magnetic fringe field
of the source

15 emA (I_{Hv})

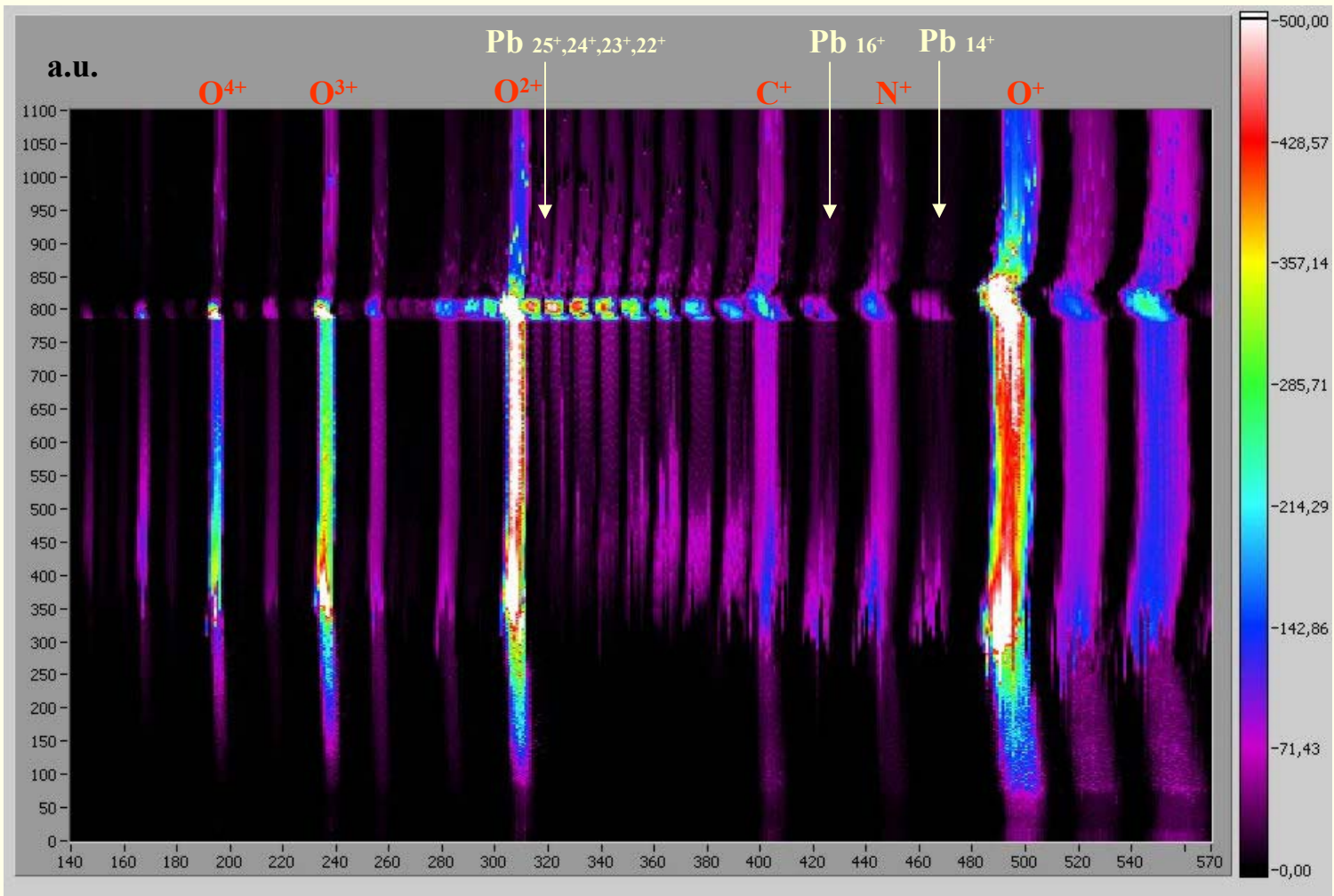
PHOENIX 28 GHz : afterglow control with Lead



PHOENIX 28 GHz : afterglow control with Lead

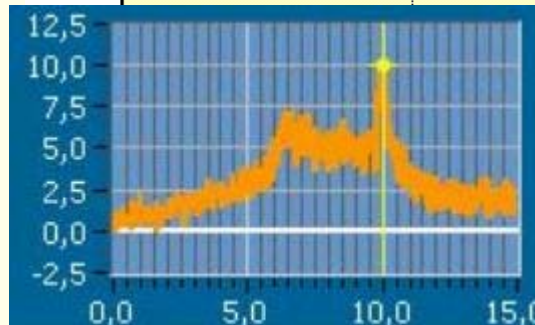
UHF pulse
10 ms

0 ms

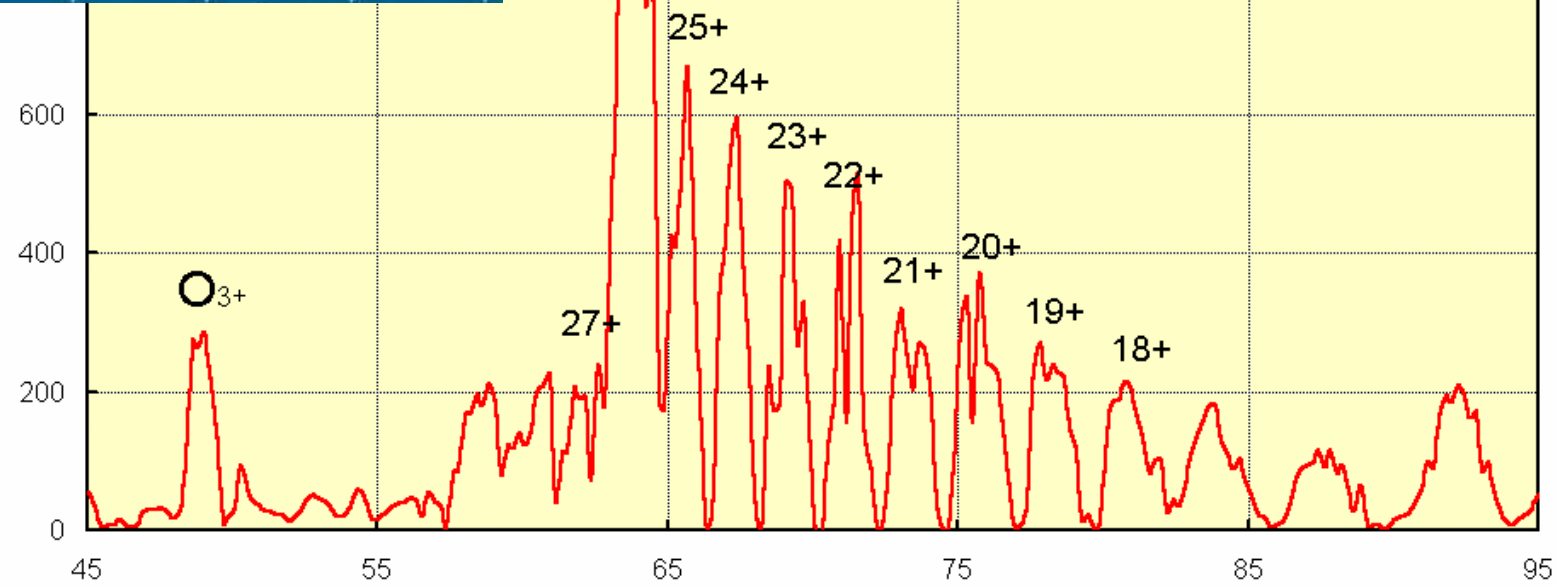
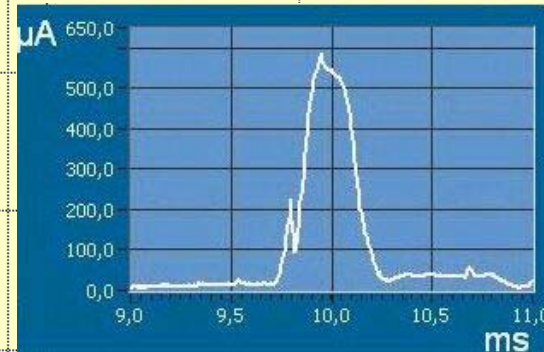


PHOENIX 28 GHz : high current extraction (Lead)

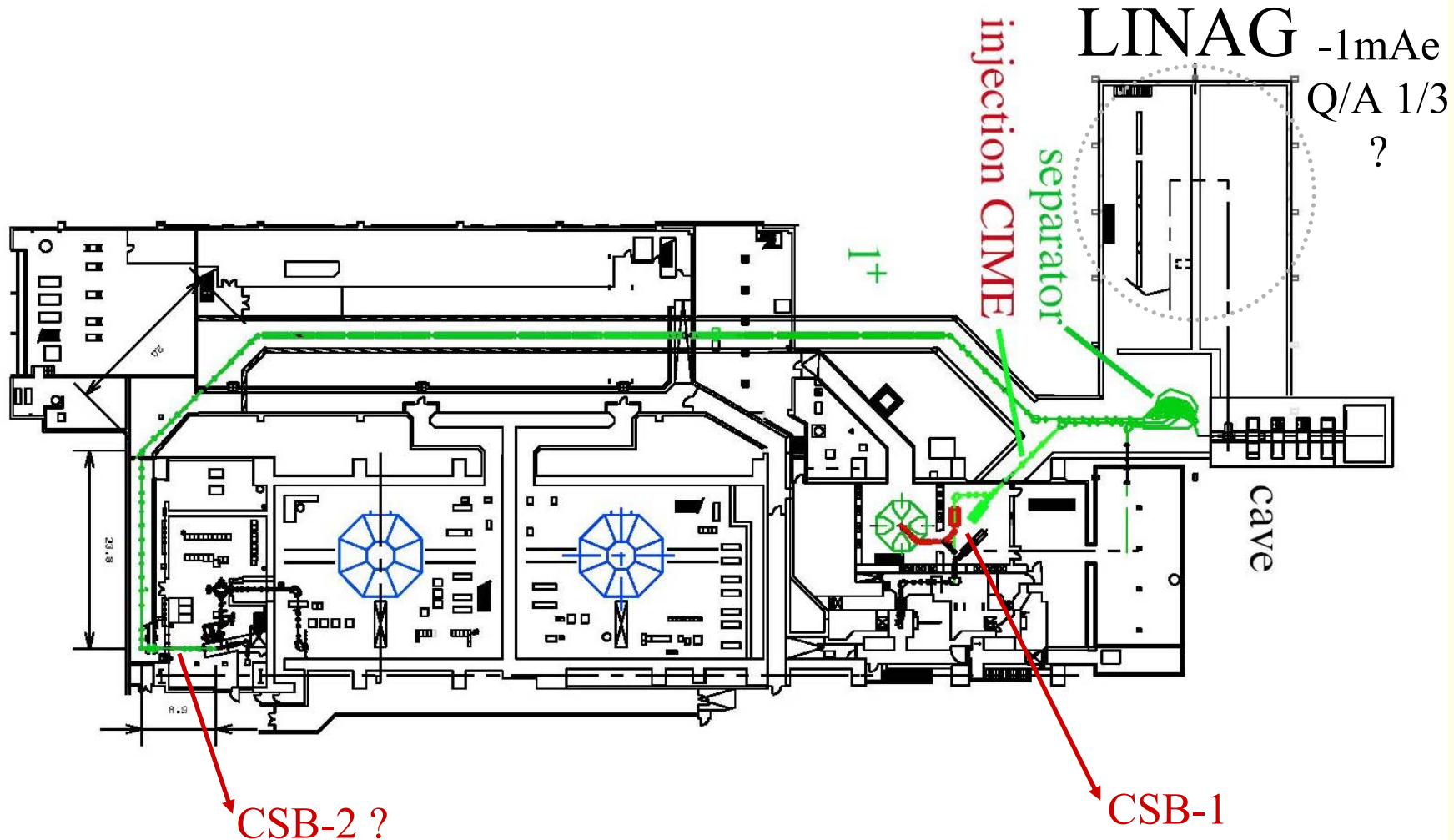
10 emA total current
(preliminary)



300 μ s pulse



Sources ECR et faisceaux secondaires



A-PHOENIX : 2T / 18-40 GHz HTS ECR source

A CW and pulsed compact ECRIS

- An upgraded version of the PHOENIX 28 GHz source
 - 1. *Very compact high field machine for high current production*
 - 2. *Development of a new coil technology for accelerator*
 - 3. *Upgrade of the UHF coupling efficiency*
 - 4. *Upgrade of the confinement for high current and/or high charge state optimization*
 - 5. *Higher B_r for lower UHF Power*
 - 6. *Higher $|B|$ for higher Z*
 - 7. *Multi frequency CW functionning at 18 and 28 GHz*
 - 8. *Pulsed operation at 40 GHz*
 - 9. *Possible application at CERN, GSI, GANIL/LINAG, INFN-LNL, HMI...*

A-PHOENIX : 2T / 18-40 GHz HTS source

20 K compact multipurpose coil for accelerator application

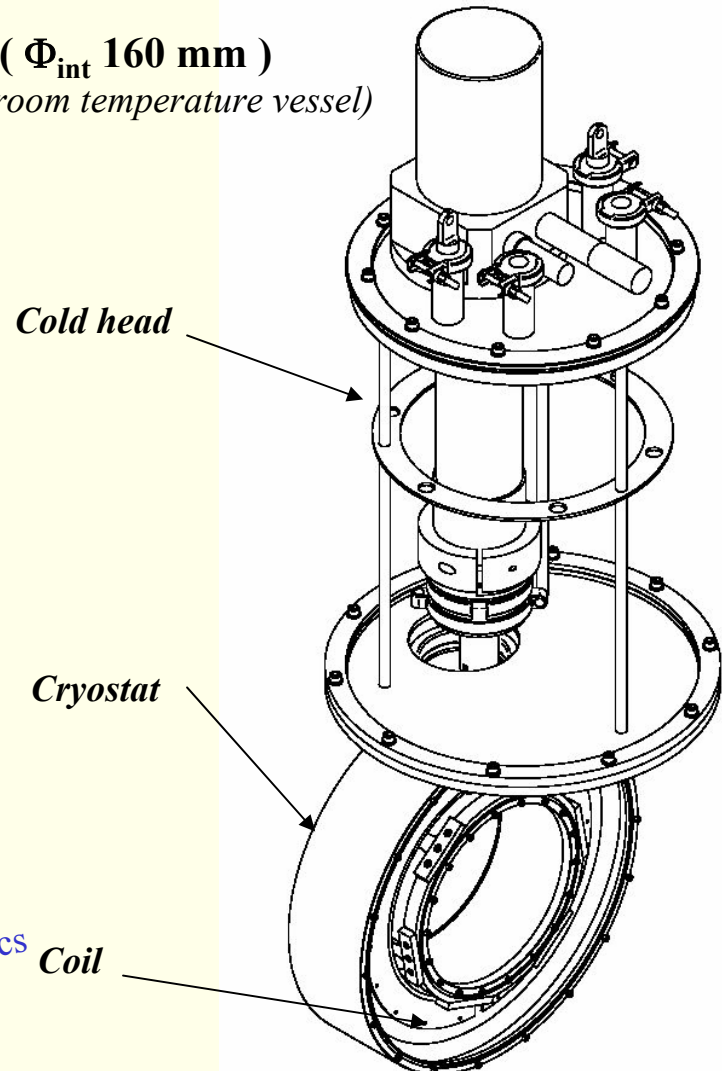
New very compact 20 K cryostat (Φ_{int} 160 mm)
(down to 18 mm between the cold coil and the room temperature vessel)

Prototype coil (tested for 90 A/mm²)

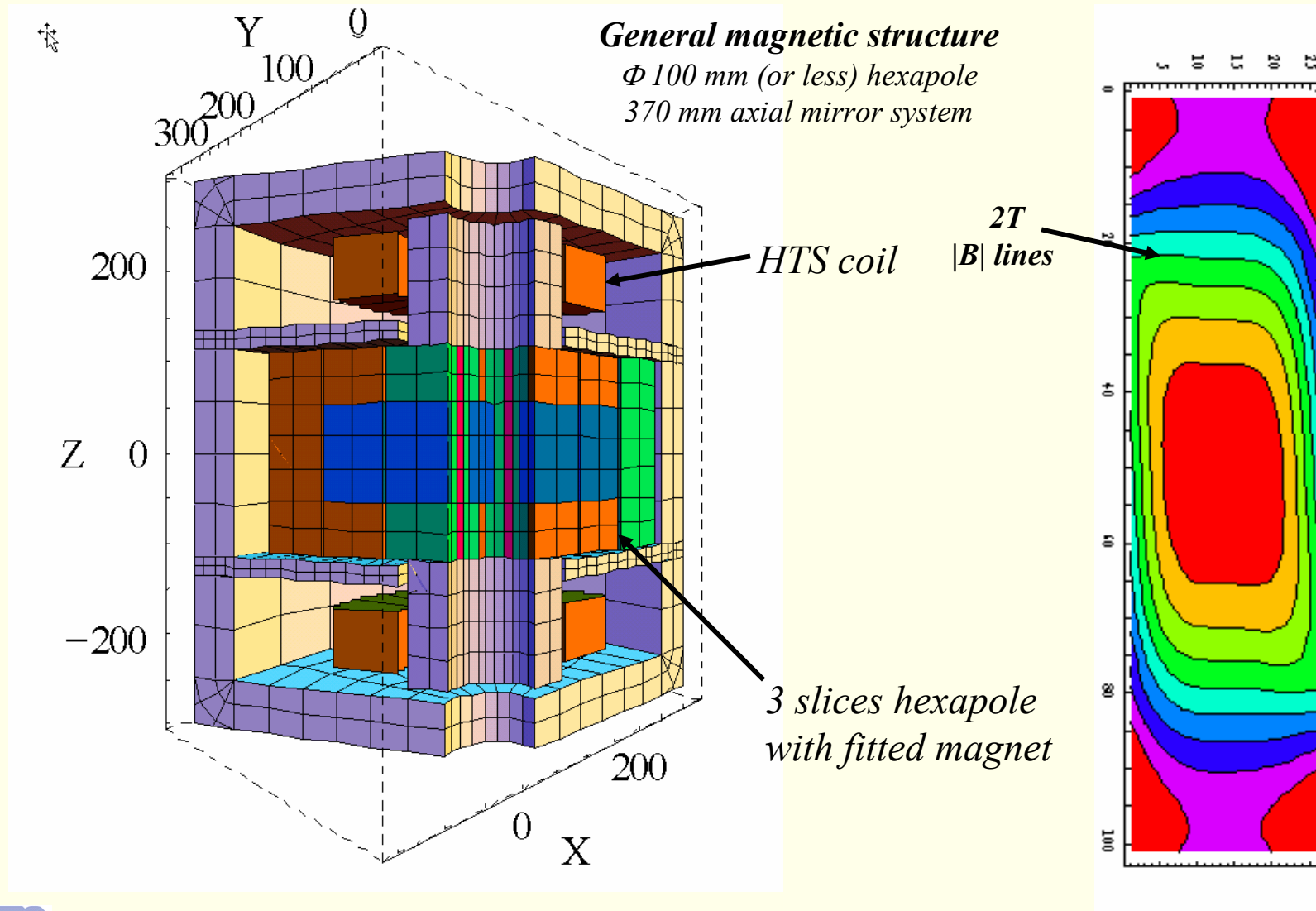


Figure 4: Finished prototype coil

Etudiées par Pantechnik sous contrat
Pantechnik / NSC (New Dehli) / Space Cryomagnetics

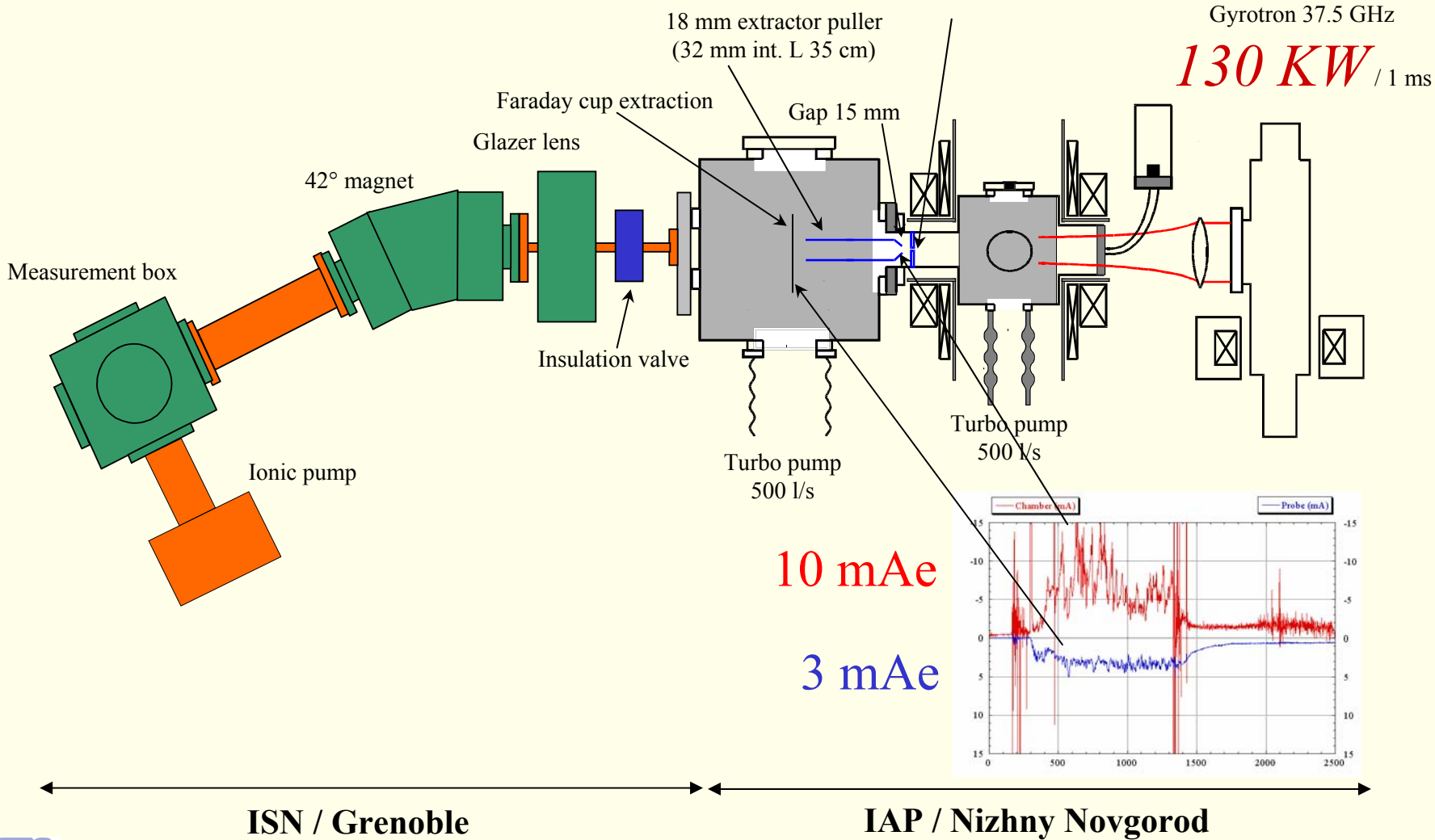


A-PHOENIX : 2T / 18-40 GHz HTS source magnetic structure



Simple Mirror Ion Source 37 GHz

$\varnothing 1 \text{ mm}$ extraction hole
and no hexapole

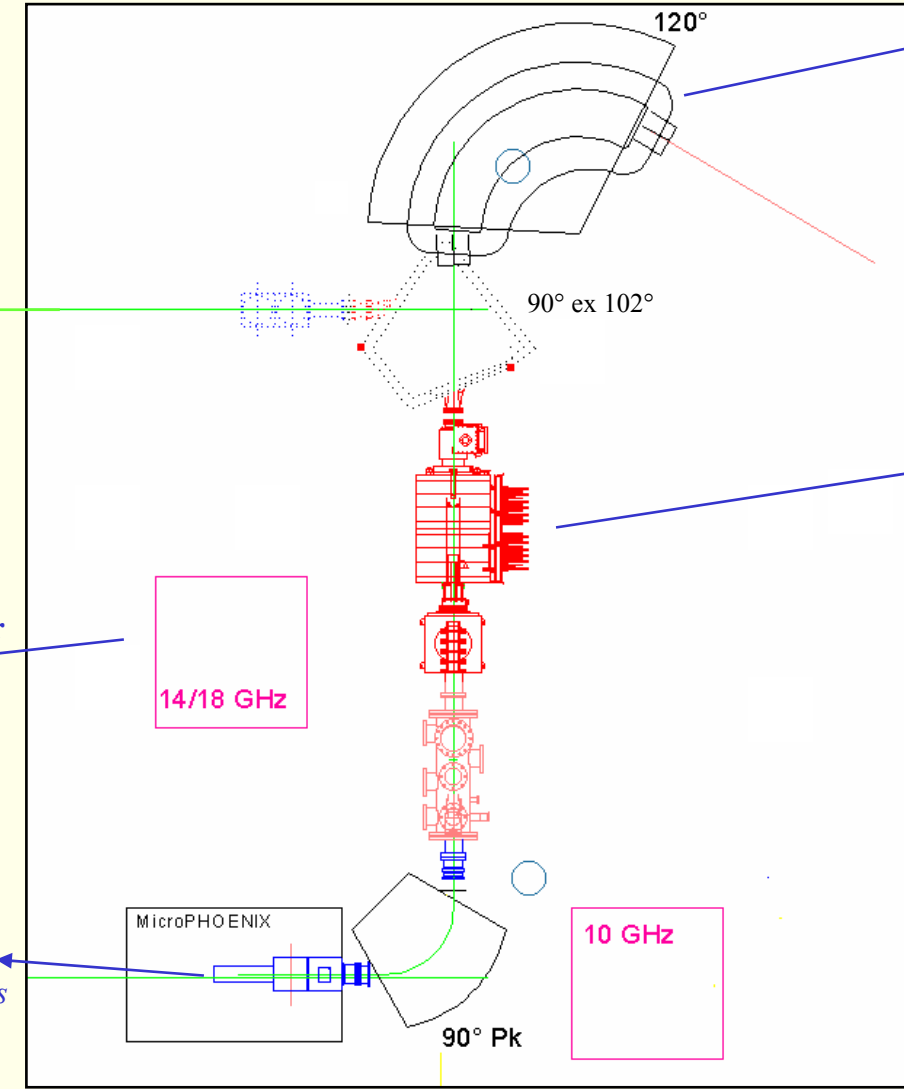


Upgrading of the charge breeding system

Injection possible dans
A-PHOENIX ?
Accumulation ?
Purification ?

Nouvel émetteur
18 GHz

Nouvel injecteur
Mono /multichargés
Hautes / basses intensités
MicroPHOENIX

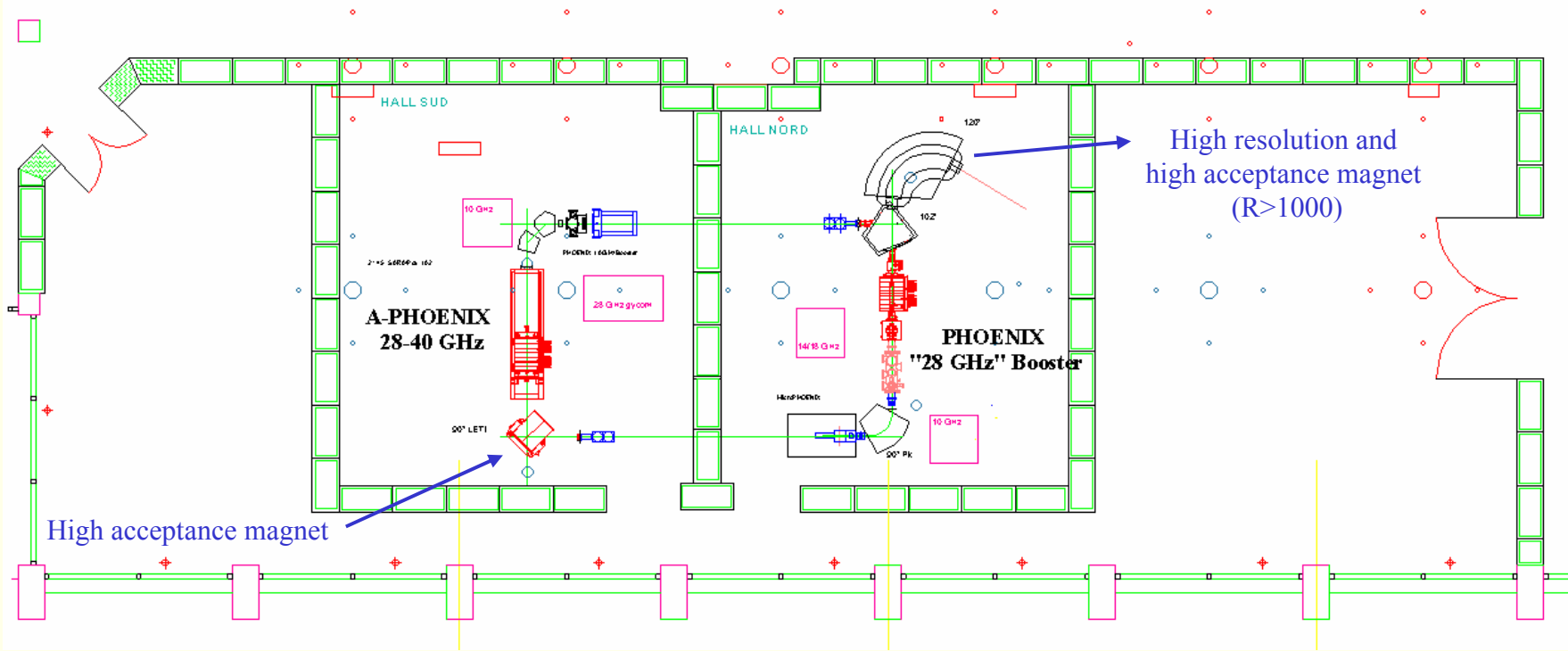


Aimant 120° « de Lyon »
 $R=1000$ pour le contrôle des impuretés
et la séparation des très fortes charges

PHOENIX 28 GHz
devient **PHOENIX 18 GHz Booster**
Augmentation du $\langle Z \rangle$
Augmentation du $|B|$
Contrôle de la largeur de distribution
Contrôle du temps d'ionisation

Test benches at the new ISN/SSI laboratory : new sources and new beam lines

An open laboratory with 4 beam lines for ion source development



SSI “ring” : 4 beam lines with possible retro-injection system

for the study of the generalisation of the charge breeding / retro injection process on any ECR sources
(metallic ion production, multicharged ion accumulation, very high charge state ion production)